

УДАР КЛИНА ПРИ ОБТЕКАНИИ С ОТРЫВОМ СТРУЙ

Я. Р. Берман

(Москва)

Постановка и общее решение задачи об ударе тела, обтекаемого с отрывом струй, были даны М. И. Гуревичем<sup>[1]</sup>. Общее решение указанной задачи получено при условии, что установившееся обтекание контура известно. В этой же работе<sup>[1]</sup> в качестве примера рассчитан импульс, действующий на плоскую пластинку при прямом ударе ее о жидкость. Однако рассмотренный пример не дал отчетливого представления об изменении присоединенной массы плоского контура, обтекаемого с отрывом струй, по сравнению с этой же величиной при ударе о невозмущенную поверхность жидкости, так как в случае плоской пластинки это изменение оказалось малым. В настоящей работе для установления влияния свободной поверхности при ударе тела, обтекаемого с отрывом струй, рассмотрены случаи прямого удара клина с конечным острым углом, а затем с бесконечно малым углом раствора. В рассмотренных в этой заметке случаях влияние формы поверхности струй на присоединенную массу является существенным.

§ 1. Постановка задачи. Рассмотрим неподвижный симметричный клин с углом раствора  $2\pi\beta$ , обтекаемый с отрывом струй потоком невесомой идеальной несжимаемой жидкости (фиг. 1). Скорость в бесконечности равна  $v_0$ .

Пусть клин внезапно приобрел горизонтальную скорость  $v_1$ , где  $v_1$  — известная постоянная величина (прямой удар в направлении отрицательной оси  $x$ ).

Дополнительное вызванное возмущением жидкости течение обладает потенциалом скоростей  $\phi$ , связанным с импульсным давлением  $p$  и плотностью жидкости  $\rho$  формулой

$$p = -\rho\phi \tag{1.1}$$

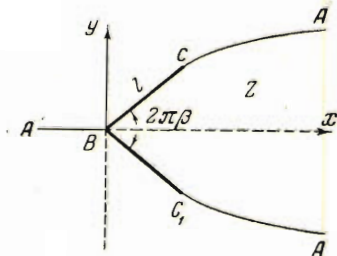
Потенциал  $\phi$  является гармонической функцией неподвижных декартовых координат в плоскости течения  $z = x + iy$  и удовлетворяет следующим граничным условиям.

На свободной поверхности обращается в нуль импульсивное давление, т. е. на основании (1.1),  $\phi = 0$ . На контуре задана нормальная скорость  $v_n = v_1 \sin \pi\beta$ , т. е.  $d\phi/dn = v_1 \sin \pi\beta$ .

Действующий на клин импульс  $I$  получится суммированием импульсивных давлений  $p$ .

§ 2. Построение решения. В силу симметрии можно свести задачу к рассмотрению верхней половины течения, заменяя ось симметрии твердой стенкой.

Применяя обычные методы теории струй, нетрудно решить задачу установившегося отрывного обтекания верхней половины клина<sup>1</sup> путем конформного отображения областей изменения комплексного потенциала  $w_0$  и комплексной скорости



Фиг. 1

<sup>1</sup> Задача обтекания клина с отрывом струй была впервые решена Д. К. Воблыным<sup>[2]</sup>. Здесь решение приведено в другой форме.

$dw_0/dz$  на правый нижний квадрант плоскости параметрического переменного  $\zeta = \xi + i\eta$ . Соответствие точек ясно из фиг. 2.

Формулы, осуществляющие указанное отображение, имеют вид:

$$\begin{array}{c} C \quad \quad \quad A \\ \quad \quad \quad B \\ \quad \quad \quad \textcircled{\zeta} \\ \quad \quad \quad | \\ \quad \quad \quad A \end{array} \quad \quad \quad \frac{dw_0}{dz} = v_0 \left( \frac{\zeta - 1}{\zeta + 1} \right)^\beta, \quad \frac{dw_0}{d\zeta} = N\zeta \quad (2.1)$$

где  $N$  — постоянная величина, определяющаяся в зависимости от длины щели клина  $l$ . Из формул (2.1) получим

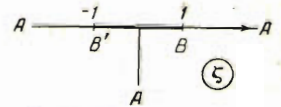
Фиг. 2

$$\frac{dz}{d\zeta} = \frac{N}{v_0} \zeta \left( \frac{\zeta + 1}{\zeta - 1} \right)^\beta \quad (2.2)$$

Поскольку перемещением частиц жидкости при ударе пренебрегают, то полученная на основании (2.2) функция  $z(\zeta)$  будет одной и той же для установившегося течения и для течения непосредственно после удара. Задачу нахождения комплексного потенциала  $w$  возмущенного течения жидкости можно решить в плоскости  $\zeta$ .

В упомянутой выше работе М. И. Гуревича<sup>[1]</sup> дано граничное условие на контуре для случая отображения области течения на верхнюю полуплоскость. В нашем случае, когда области течения соответствует правый нижний квадрант плоскости ( $\zeta$ ), это условие примет вид:

$$\text{Im} \frac{dw}{d\zeta} = v_1 \sin \pi\beta \left| \frac{dz}{d\zeta} \right| \quad (\text{при } 0 < \xi < 1, \eta = 0) \quad (2.3)$$



Фиг. 3

На бесконечной части  $BA$  действительной оси плоскости ( $\zeta$ ), соответствующей оси симметрии рассматриваемого плоского течения, вследствие обращения в нуль нормальной скорости получим

$$\text{Im} \frac{dw}{d\zeta} = 0 \quad (2.4)$$

Аналогичный вид должно иметь условие на мнимой полуоси  $CA$ , отвечающей поверхности струн, так как вследствие обращения в нуль потенциала  $\varphi$  величины  $dw$  и  $d\zeta$  будут чисто мнимыми.

В силу выполнения условия (2.4) на мнимой нижней полуоси плоскости ( $\zeta$ ) можно согласно принципу симметрии искомую функцию  $dw/d\zeta$  аналитически продолжить на левый нижний квадрант плоскости  $\zeta$ . Теперь мнимая часть функции  $dw/d\zeta$  уже задана на всей действительной оси плоскости ( $\zeta$ ).

На участках  $B'C$  и  $AB'$  имеем (фиг. 3) соответственно

$$\text{Im} \frac{dw}{d\zeta} = -v_1 \sin \pi\beta \left| \frac{dz}{d\zeta} \right|, \quad \text{Im} \frac{dw}{d\zeta} = 0$$

В бесконечности  $dw/d\zeta$  должна иметь нуль<sup>[1]</sup> порядка  $\zeta^{-2}$ . Пользуясь формулой Шварца для нижней полуплоскости, можно определить  $dw/d\zeta$  по значениям ее мнимой части на действительной оси:

$$\begin{aligned} \frac{dw}{d\zeta} = & -\frac{1}{\pi} \left( \int_{-1}^0 -v_1 \sin \pi\beta \left| \frac{dz}{d\zeta} \right|_{\zeta=\xi} \frac{d\xi}{\xi - \zeta} + \right. \\ & \left. + \int_0^1 v_1 \sin \pi\beta \left| \frac{dz}{d\zeta} \right|_{\zeta=\xi} \frac{d\xi}{\xi - \zeta} \right) \end{aligned}$$

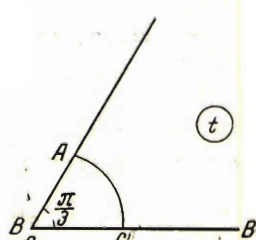
Используя (2.2) и учитывая характер подынтегральных выражений, получим

$$\frac{dw}{d\zeta} = -\frac{v_1 \sin \pi\beta}{\pi v_0} |N| \int_0^1 \left[ \frac{\xi}{\xi - \zeta} \left( \frac{1 + \xi}{1 - \xi} \right)^\beta + \frac{\xi}{\xi + \zeta} \left( \frac{1 + \xi}{1 - \xi} \right)^\beta \right] d\xi \quad (2.5)$$

§ 3. Решение для случая  $\beta = 1/3$ . В случае  $\beta = m/n$ , где  $m$  и  $n$  — целые числа, интеграл, входящий в (2.5), сводится к интегралу от рациональной дроби посредством замены переменных:

$$t = \left( \frac{1-\zeta}{1+\zeta} \right)^{1/n}, \quad \text{и} \quad s = \left( \frac{1-\xi}{1+\xi} \right)^{1/n} \quad (3.1)$$

Соответствие точек в плоскостях  $\zeta$  и  $t$  для случая  $\beta = 1/3$  ясно из фиг. 4. Выражение (2.5) примет вид:

$$\frac{dw}{d\zeta} = -\frac{v_1 \sin \pi\beta}{\pi v_0} |N| \left[ 4n \int_0^1 \frac{s^{n-m-1} ds}{(1+s^n)^2} + \right. \\ \left. + n(1-t^n) \int_0^1 \frac{s^{n-m-1} ds}{(1+s^n)(t^n-s^n)} - n(1-t^n) \int_0^1 \frac{s^{n-m-1} ds}{(1+s^n)(1-t^n s^n)} \right]$$


В результате интегрирования при  $m=1$ ,  $n=3$  получим Фиг. 4

$$\frac{dw}{d\zeta} = -\frac{v_1 \sqrt{3}/2}{\pi v_0} |N| \left\{ \frac{1-t^3}{1+t^3} \left[ -\frac{\pi i}{t} + \left( \frac{1}{t} - t \right) \left( \frac{1}{2} \ln \frac{t^2+t+1}{(1-t)^2} + \frac{\pi}{2\sqrt{3}} \right) - \right. \right. \\ \left. \left. - \sqrt{3} \left( \frac{1}{t} \operatorname{arc} \operatorname{tg} \frac{2+t}{\sqrt{3}t} - t \operatorname{arc} \operatorname{tg} \frac{2t+1}{\sqrt{3}} \right) \right] + 2 - \frac{4}{3} \ln 2 + \frac{4}{9} \sqrt{3} \pi \right\} \quad (3.2)$$

Выражение (3.2) удовлетворяет всем граничным условиям для  $dw/d\zeta$ .

Из (2.2) при помощи подстановки (3.1) находим

$$z = -\frac{6N}{v_0} e^{i1/3\pi} \left\{ \frac{t^2}{3(1+t^3)^2} + \frac{t^2}{9(1+t^3)} - \frac{1}{27} \left[ \frac{1}{2} \ln \frac{(t+1)^2}{t^2-t+1} - \sqrt{3} \operatorname{arc} \operatorname{tg} \frac{t\sqrt{3}}{2-t} \right] \right\} \quad (3.3)$$

Учитывая, что при  $t=1$ ,  $z = le^{i1/3\pi}$  (фиг. 1 и 4), получим следующее значение для постоянной  $N$ :

$$N = -\frac{54v_0 l}{45 + 4\pi\sqrt{3} - 12 \ln 2} = -0.924 v_0 l \quad (3.4)$$

§ 4. Вычисление импульса сил для случая  $\beta = 1/3$ . Суммируя давления, действующие при ударе на обе щеки клина, получим следующее значение для горизонтальной составляющей импульса сил:

$$I_x = 2 \int_{BC} p \sin \pi\beta dS \quad (4.1)$$

где интегрирование производится вдоль щеки клина в плоскости ( $z$ ).

Воспользовавшись (1.1) и учитывая, что на концах клина потенциал  $\varphi$  должен обращаться в нуль, находим

$$I_x = -2\rho e^{-i\pi\beta} \sin \pi\beta \int_{BC} \varphi dz = -2\rho e^{-i\pi\beta} \sin \pi\beta \left( [\varphi z]_B^C - \int_{BC} z d\varphi \right) = \\ = 2\rho e^{-i\pi\beta} \sin \pi\beta \int_{BC} z d\varphi \quad (4.2)$$

При переходе к переменной  $t$  выражение для импульса в случае  $\beta = 1/3$  примет вид:

$$I_x = -6\sqrt{3}\rho e^{-i1/3\pi} \int_0^1 z \operatorname{Re} \frac{dw}{d\zeta} \frac{t^2 dt}{(1+t^3)^2} \quad (4.3)$$

где  $z$  — функция от  $t$ , определяемая формулами (3.3) и (3.4), а  $\operatorname{Re} dw/d\zeta$  на основании (3.2) и (3.4) запишется следующим образом:

$$\operatorname{Re} \frac{dw}{d\zeta} = - \frac{27\sqrt{3}v_1 l}{\pi(45 + 4\pi\sqrt{3} - 12\ln 2)} \left\{ \frac{1-t^3}{1+t^3} \left[ \left( \frac{1}{t} - t \right) \left( \frac{1}{2} \ln \frac{t^2+t+1}{(1-t)^2} + \frac{\pi}{2\sqrt{3}} \right) - \sqrt{3} \left( \frac{1}{t} \operatorname{arc} \operatorname{tg} \frac{2+t}{\sqrt{3}t} - t \operatorname{arc} \operatorname{tg} \frac{2t+1}{\sqrt{3}} \right) \right] + 2 - \frac{4}{3} \ln 2 + \frac{4}{9} \sqrt{3}\pi \right\} \quad (4.4)$$

После нахождения численным методом интеграла, входящего в (4.3), окончательно имеем

$$I_x = 1.116 \rho v_1 l^2 \quad (4.5)$$

В аналогичном выражении, получаемом при рассмотрении удара такого же клина о невозмущенную поверхность жидкости<sup>[3]</sup>, значение численного коэффициента будет 0.974.

Таким образом, отношение импульсов, равное отношению присоединенных масс, для этих случаев будет равно  $m/m_0 = 1.146$ .

§ 5. Случай тонкого клина. Рассмотрим случай тонкого клина. Решение задачи получается из (2.2) и (2.5) при малых  $\beta$ .

Разлагая правую часть (2.5) в ряд по  $\beta$  и удерживая члены, содержащие  $\beta$  в первой степени, получим

$$\frac{dw}{d\zeta} = - \frac{v_1 \beta |N|}{v_0} \int_0^1 \left( \frac{\xi}{\xi - \zeta} + \frac{\xi}{\xi + \zeta} \right) d\xi$$

и после интегрирования

$$\frac{dw}{d\zeta} = - \frac{v_1 \beta |N|}{v_0} \left( 2 + \zeta \ln \frac{1-\zeta}{1+\zeta} - \pi i \zeta \right) \quad (5.1)$$

Формула (2.2) при малых  $\beta$  примет вид:

$$v_0 \frac{dz}{d\zeta} = N\zeta, \text{ откуда } z = \frac{N}{v_0} \frac{\zeta^2}{2} + C$$

Учитывая соответствие точек в плоскостях  $z$  и  $\zeta$  (фиг. 1 и 2), находим  $C = l$ ,  $N = -2v_0 l$  и поэтому

$$z = -l(\zeta^2 - 1) \quad (5.2)$$

Из (5.1) и (5.2) после несложных выкладок получается следующее выражение для комплексной скорости:

$$\frac{dw}{dz} = -v_1 \beta \left( \frac{2\sqrt{l}}{\sqrt{l-z}} + \ln \frac{\sqrt{l}-\sqrt{l-z}}{\sqrt{l}+\sqrt{l-z}} - \pi i \right) \quad (5.3)$$

Формула для импульса (4.2) примет вид:

$$I_x = 2\rho\pi\beta \int_0^1 x \frac{\partial\varphi}{\partial x} dx$$

Взяв значение  $\partial\varphi/\partial x$  из (5.3), имеем

$$I_x = -2\rho\pi v_1 \beta^2 \int_0^l \left( \frac{2\sqrt{l}x dx}{\sqrt{l-x}} + x \ln \frac{\sqrt{l}-\sqrt{l-x}}{\sqrt{l}+\sqrt{l-x}} \right) dx$$

После интегрирования получается

$$I_x = 4\rho\pi v_1 \beta^2 l^2 \quad (5.4)$$

Сравним полученное значение импульса с результатом Л. И. Седова для удара клина о невозмущенную поверхность воды<sup>[3]</sup>. Согласно Л. И. Седову импульс, переданный воде, равен  $J = -\rho k v_1 l^2$ , где в наших обозначениях<sup>1</sup>

$$k = \operatorname{tg} \pi\beta \left[ \frac{\Gamma(1+\beta)\Gamma(1/2-\beta)}{\Gamma(1-\beta)\Gamma(1/2+\beta)} - 1 \right] \quad (5.5)$$

<sup>1</sup> Здесь мы учитываем, что при малых  $\beta$  погружение<sup>[3]</sup> клина  $T \approx l$ .

Разлагая входящие в выражение (5.5) гамма-функция в ряды по  $\beta$  и удерживая члены с первыми степенями  $\beta$ , можно получить при использовании свойств гамма-функций [4]

$$k = 2\pi\beta^2 1.386$$

Тогда импульс, переданный клину, будет равен:

$$I_{0x} = -J = 2\rho\pi v_1 \beta^2 1.386 \quad (5.6)$$

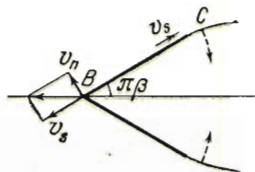
Сравнивая (5.4) и (5.6), находим, что  $m/m_0 = 1.444$ .

Сравнение полученных значений в §§ 4 и 5 показывает, что отношение присоединенных масс растет с уменьшением угла раствора клина. Если в случае удара пластинки влияние свободной поверхности струй оказалось незначительным, то в случае удара клина оно становится тем существенней, чем острее клин.

§ 6. Замечание о распределении касательной скорости возмущенного движения жидкости. Анализируя формулу (5.3) для комплексной скорости в случае тонкого клина, легко усмотреть, что касательная скорость возмущенного течения жидкости меняет знак при переходе через некоторую точку щеки клина.

Указанная особенность замечена нами также у клина с углом  $\beta = 1/3\pi$ , но не имеет места для пластинки. Это и естественно. Скорость жидкости в точке  $B$  клина (фиг. 5) должна быть горизонтальной, так как в противном случае в этой точке был бы разрыв скорости. Из фиг. 5 видно, что при этом касательная и нормальная скорости связаны соотношением

$$v_s = v_n \operatorname{ctg} \pi\beta \quad (\text{в точке } B) \quad (6.1)$$



Фиг. 5

В точке  $C$  (фиг. 5) жидкость должна стекать к свободной поверхности, и касательная скорость здесь имеет направление, противоположное направлению вблизи острия клина. Следовательно, на щеке клина имеется точка, в которой  $v_s = 0$ . В случае же пластинки, как показывает формула (6.1),  $v_s = 0$  в точке  $B$ .

Поступила 26 IX 1955

#### ЛИТЕРАТУРА

1. Гуревич М. И. Удар пластинки при обтекании с отрывом струй. ПММ, т. XVI, вып. 1, 1952.
2. Бобылев Д. К. Заметка о давлении, производимом потоком неограниченной ширины на две стенки, сходящиеся под каким бы то ни было углом. Журн. Русск. физ.-хим. об-ва, т. XIII, 1881.
3. Седов Л. И. Удар плавающего клина. Сборник статей по вопросам удара о поверхность воды. Труды ЦАГИ, вып. 152, 1935.
4. Янке Е. и Эмде Р. Таблицы функций с формулами и кривыми. ГИТТЛ, 1949.